

Электропроводность керамических ВТСП $\text{YBa}_2\text{Cu}_3\text{O}_{7-\delta}$ с различным содержанием кислорода при низких температурах

В. А. Финкель

Национальный научный центр «Харьковский физико-технический институт»
ул. Академическая, 1, г. Харьков, 61108, Украина
E-mail: finkel@kipt.kharkov.ua

Статья поступила в редакцию 1 февраля 2002 г., после переработки 7 мая 2002 г.

Измерено электросопротивление керамических ВТСП $\text{YBa}_2\text{Cu}_3\text{O}_{7-\delta}$ с различным содержанием кислорода ($6,28 \leq 7-\delta \leq 6,95$) в интервале температур ~ 20 – 273 К. Показано, что при всех концентрациях кислорода температурная зависимость сопротивления может быть описана соотношением $\rho = \alpha_0(1 + \beta T + e^{\gamma/T})$. Установлено, что в рамках теории резонансного туннелирования возможно получение информации об анизотропии электросопротивления ВТСП на основе результатов экспериментов, проведенных на поликристаллических образцах.

Виміряно електроопір керамічних ВТНП $\text{YBa}_2\text{Cu}_3\text{O}_{7-\delta}$ із різним вмістом кисню ($6,28 \leq 7-\delta \leq 6,95$) у інтервалі температур ~ 20 – 273 К. Показано, що при усіх концентраціях кисню температурну залежність опору може бути описано співвідношенням $\rho = \alpha_0(1 + \beta T + e^{\gamma/T})$. Встановлено, що в рамках теорії резонансного тунелювання можливо отримання інформації щодо анізотропії електроопору ВТНП на підставі результатів експериментів, проведених на полікристалічних зразках.

PACS: 74.25.Fy, 74.72.Bk

Исследования кинетических свойств высокотемпературного сверхпроводника (ВТСП) $\text{YBa}_2\text{Cu}_3\text{O}_{7-\delta}$ начались сразу же после открытия 90-градусной сверхпроводимости этого оксидного соединения [1]. За истекшие 15 лет выполнены десятки, если не сотни, работ, посвященных измерениям электросопротивления монокристаллов, пленок и керамических образцов $\text{YBa}_2\text{Cu}_3\text{O}_{7-\delta}$. Эти исследования проводятся в основном в двух направлениях.

1. Изучение влияния так называемого слабосвязанного кислорода в позициях O4 и O5 орторомбической (в фазах O-I и O-II) или тетрагональной (в T-фазе) кристаллической решетки $\text{YBa}_2\text{Cu}_3\text{O}_{7-\delta}$ на процессы переноса заряда в нормальном состоянии. Исследования такого рода выполнялись, как правило, на керамических образцах (см., например, [2–5]).

2. Изучение анизотропии кинетических свойств $\text{YBa}_2\text{Cu}_3\text{O}_{7-\delta}$. Эти исследования выпол-

нялись исключительно на монокристаллах ВТСП (см., например, [6–10]).

Результаты исследований в этих двух направлениях принципиально различны.

1. Данные, полученные на керамических образцах, привели к установлению лишь общего характера влияния кислорода в позициях O4 и O5 на электрофизические свойства $\text{YBa}_2\text{Cu}_3\text{O}_{7-\delta}$: возрастание удельного электросопротивления ρ и снижение критической температуры сверхпроводящего перехода T_c по мере уменьшения кислородного индекса $7-\delta$, изменения вида зависимости $\rho(T)$ от линейного роста сопротивления с температурой ($\rho = A + BT$) в фазе O-I с $7-\delta \rightarrow 7$ до «полупроводникового» ($\rho \sim e^{C/T}$) в несверхпроводящей T-фазе с $7-\delta \rightarrow 6$; температурная зависимость сопротивления промежуточной фазы O-II носит переходной характер от $\rho = A + BT$ к $\rho \sim e^{C/T}$. T_c ВТСП $\text{YBa}_2\text{Cu}_3\text{O}_{7-\delta}$ понижается при уменьшении кислородного индекса в фазе O-I,

слабо зависит от $7-\delta$ в фазе О-II, обращаясь в нуль на границе между О-II- и T-фазами.

2. Исследования, проведенные на монокристаллах $\text{YBa}_2\text{Cu}_3\text{O}_{7-\delta}$ с составом, близким к $\text{YBa}_2\text{Cu}_3\text{O}_7$, показали, что сопротивление в базисной плоскости ab (001) орторомбической решетки ρ_{ab} почти линейно уменьшается при понижении температуры, а сопротивление вдоль главной оси c ($<001>$) ρ_c увеличивается. Сразу же отметим, что из-за особенностей морфологии роста кристаллов $\text{YBa}_2\text{Cu}_3\text{O}_{7-\delta}$ (тонкие пластиинки, ограниченные плоскостями ab) проведение измерений вдоль оси c крайне сложно, все данные получены с помощью в известной степени косвенного метода Монтгомери [11], и результаты относительно характера зависимостей $\rho_c(T)$ от части противоречивы. Результаты немногочисленных исследований на монокристаллах $\text{YBa}_2\text{Cu}_3\text{O}_{7-\delta}$ с пониженным содержанием кислорода [7,9] указывают на возрастание анизотропии электросопротивления при понижении кислородного индекса. Результаты подобных исследований крайне важны для установления природы высокотемпературной сверхпроводимости [12], поскольку анализ данных о характере зависимостей $\rho_c/\rho_{ab}(T, 7-\delta)$ в принципе может дать возможность сделать выбор в пользу той или иной модели переноса заряда в ВТСП.

Казалось бы, фундаментальное значение для решения проблемы установления характера переноса заряда в различных направлениях кристаллических решеток ВТСП и природы явления высокотемпературной сверхпроводимости имеют только результаты электрофизических измерений монокристаллов $\text{YBa}_2\text{Cu}_3\text{O}_{7-\delta}$. Цель настоящей работы — показать, что и измерения электросопротивления керамических (поликристаллических) образцов в ряде случаев позволяют получить информацию об анизотропии электропроводности кристаллов ВТСП, на основании которой возможен выбор адекватной модели переноса заряда. В настоящей работе получила дальнейшее развитие идея о возможности изучения анизотропных свойств ВТСП на поликристаллических образцах, ранее использованная для изучения анизотропии низких критических полей H_{c1} ВТСП $\text{YBa}_2\text{Cu}_3\text{O}_{7-\delta}$ [13–15].

В настоящей работе реализована следующая программа исследований:

1) экспериментально изучена электропроводность достаточно представительной серии керамических образцов ВТСП $\text{YBa}_2\text{Cu}_3\text{O}_{7-\delta}$ ($6,28 \leq 7-\delta \leq 6,95$) в интервале температур ~ 20 – 273 К;

2) развита модель для описания температурных зависимостей электросопротивления $\text{YBa}_2\text{Cu}_3\text{O}_{7-\delta}$ в нормальном состоянии при всех значениях кислородного индекса $7-\delta$ в широком интервале температур;

3) обсуждены полученные данные на основе существующих теоретических представлений о переносе заряда в ВТСП.

Измерения проводили на керамических образцах размерами $2 \times 2 \times 20$ мм, полученных из одной партии порошка $\text{YBa}_2\text{Cu}_3\text{O}_{7-\delta}$. Образцы для измерений изготавливали путем прессования порошка с последующим спеканием на воздухе при 945 °C в течение 24 ч и медленным охлаждением до комнатной температуры. Для получения образцов с различными значениями кислородного индекса $7-\delta$ производили закалку от различных температур в жидкий азот. Содержание кислорода контролировали гравиметрическим и рентгенографическим — по величине параметров кристаллической решетки — методами [16].

Электросопротивление полученных образцов $\text{YBa}_2\text{Cu}_3\text{O}_{7-\delta}$ изучали с помощью приборно-программного измерительного комплекса (ППИК) на базе персональной ЭВМ [17]. Установка ППИК для измерения температурной зависимости электрофизическими и магнитными свойств в диапазоне 10–300 K создана на основе криогенатора RGD-210 (Leybold). Датчиком температуры служил платиновый термометр сопротивления.

Результаты измерений удельного электросопротивления образцов с различным содержанием кислорода представлены на рис. 1 (приведены не все кривые $\rho(T)$). Характер эволюции кривых $\rho(T)$ при изменении кислородного индекса хоро-

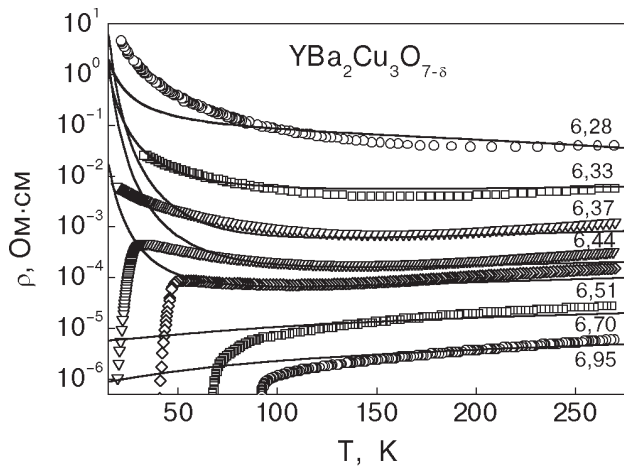


Рис. 1. Температурная зависимость удельного электросопротивления образцов ВТСП $\text{YBa}_2\text{Cu}_3\text{O}_{7-\delta}$ с различным содержанием кислорода.

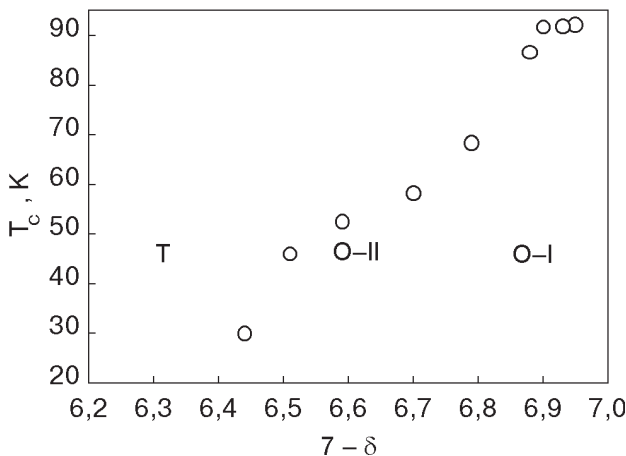


Рис. 2. Зависимость T_c ВТСП $\text{YBa}_2\text{Cu}_3\text{O}_{7-\delta}$ от кислородного индекса ($7-\delta$).

шо согласуется с известной T –($7-\delta$)-диаграммой системы $\text{YBa}_2\text{Cu}_3\text{O}_{7-\delta}$ [18]: при $6,7 \leq 7-\delta \leq 6,95$ (фаза O-I) зависимости $\rho(T)$ носят практически линейный характер; при $6,28 \leq 7-\delta \leq 6,37$ (T -фаза) сопротивление растет при понижении температуры; при $6,44 \leq 7-\delta \leq 6,59$ (фаза O-II) наблюдается сочетание обеих тенденций. Зависимость T_c от кислородного индекса (рис. 2) также согласуется с характером T –($7-\delta$)-диаграммы — наблюдается резкое падение T_c при уменьшении $7-\delta$ в области существования фазы O-I и тенденция к появлению «плато» в фазе O-II, в диэлектрической T -фазе сверхпроводимость, естественно, отсутствует.

В целом полученные температурные зависимости электросопротивления и критических температур ВТСП $\text{YBa}_2\text{Cu}_3\text{O}_{7-\delta}$ качественно согласуются с результатами ранее проведенных исследований [2–5].

При построении модели для описания температурных зависимостей электросопротивления $\text{YBa}_2\text{Cu}_3\text{O}_{7-\delta}$ в нормальном состоянии, очевидно, следует исходить из того, что процесс переноса заряда при всех значениях кислородного индекса происходит по двум различным каналам: в плоскости ab , когда металлическая проводимость возникает из-за дипирования плоскостей CuO_2 дырками, и вдоль оси c (по активационному ме-

ханизму, см. ниже). Аппроксимируя реальную трехмерную микроструктуру керамического образца одномерной цепью из последовательно соединенных монокристаллов с $\mathbf{E} \perp \mathbf{c}$ (металлическая проводимость) и $\mathbf{E} \parallel \mathbf{c}$ (активационная проводимость), для описания зависимостей $\rho(T)$ ВТСП $\text{YBa}_2\text{Cu}_3\text{O}_{7-\delta}$ с различным содержанием слабосвязанного кислорода в широком интервале температур (за исключением области флюктуационной проводимости вблизи T_c) можно предложить модельное выражение

$$\rho = \alpha_0 (1 + \beta T + e^{\gamma/T}), \quad (1)$$

содержащее как линейный член, ответственный за «металлическую» проводимость в плоскости ab , так и экспоненциальный член, ответственный за «активационную» проводимость вдоль оси c .^{*} Реальное описание микроструктуры, т.е. соотношение по-разному ориентированных кристаллитов в керамике, очевидно, «заложено» в сомножитель α_0 .

Заведомо приближенное уравнение (1), не учитывающее, в частности, наличия эффекта усиления антиферромагнитных флюктуаций при понижении кислородного индекса [19], удовлетворительно описывает температурные зависимости удельного сопротивления исследуемых керамических образцов ВТСП $\text{YBa}_2\text{Cu}_3\text{O}_{7-\delta}$ (сплошные линии на рис. 1): вне флюктуационной области экспериментальные точки хорошо ложатся на расчетные кривые. Результаты обработки полученных данных приведены в таблице.

Таким образом, в широком диапазоне концентраций кислорода температурная зависимость электросопротивления ВТСП $\text{YBa}_2\text{Cu}_3\text{O}_{7-\delta}$ может быть описана единым соотношением (1), включающим оба механизма переноса заряда — «металлический» и «активационный». Сразу же отметим, что в области устойчивости фазы O-I ($6,7 \leq 7-\delta \leq 6,95$) «активационный» параметр γ в соотношении (1) приобретает явно «нефизичное» значение: $\gamma < 0$. Это связано с тем, что, по-видимому, флюктуационные эффекты не учитывали.

* В предположении одновременного действия двух механизмов переноса заряда — так называемого «металлического» в плоскостях CuO_2 и «активационного» вдоль оси c — электросопротивление нетекстуированного поликристаллического объекта должно представлять собой нормированную сумму сопротивлений, обусловленных этими двумя механизмами:

$$\rho = \alpha_0 (1 + \beta T) + \alpha'_0 e^{\gamma/T}.$$

Полученные массивы данных $\rho(T)$ были аппроксимированы минимальной (трехпараметрической) формой с $\alpha = \alpha'_0$, т.е. соотношением (1).

Таблица

Коэффициенты уравнения $\rho = \alpha_0(1 + \beta T + e^{\gamma/T})$ для температурных зависимостей удельного электросопротивления образцов ВТСП $\text{YBa}_2\text{Cu}_3\text{O}_{7-\delta}$

$7-\delta$	T_c , К	α_0 , Ом·см	β , K^{-1}	γ , К
$6,95 \pm 0,02$	$92,22 \pm 0,05$	$0,00007 \pm 0,0000068$	$0,01958 \pm 0,00215$	$-105,35 \pm 26,35$
$6,95 \pm 0,02$	$92,16 \pm 0,05$	$0,00009 \pm 0,0000069$	$0,02165 \pm 0,00203$	$-99,81 \pm 21,95$
$6,93 \pm 0,02$	$91,9 \pm 0,05$	$0,00009 \pm 0,00002$	$0,02057 \pm 0,00508$	$-116,88 \pm 65,26$
$6,9 \pm 0,02$	$91,66 \pm 0,05$	$0,00009 \pm 0,00004$	$0,01685 \pm 0,00874$	$-126,55 \pm 144,12$
$6,88 \pm 0,02$	$86,62 \pm 0,05$	$0,00033 \pm 0,00024$	$0,0099 \pm 0,00932$	$-130,25 \pm 243,56$
$6,79 \pm 0,02$	$68,28 \pm 0,05$	$0,00033 \pm 0,00024$	$0,0099 \pm 0,00932$	$-130,25 \pm 243,56$
$6,7 \pm 0,02$	$58,2 \pm 0,05$	$0,00049 \pm 0,00008$	$0,00825 \pm 0,00181$	$-138,94 \pm 59,42$
$6,59 \pm 0,02$	$52,49 \pm 0,05$	$0,00051 \pm 0,00002$	$0,01389 \pm 0,00063$	$-19,142 \pm 5,838$
$6,51 \pm 0,02$	$46,02 \pm 0,05$	$0,00033 \pm 0,000021$	$0,02768 \pm 0,00023$	$111,80 \pm 0,753$
$6,44 \pm 0,02$	$25,95 \pm 0,05$	$0,00037 \pm 0,00006$	$0,03669 \pm 0,00076$	$171,66 \pm 1,76$
$6,37 \pm 0,02$	Н/сп	$0,0009 \pm 0,00002$	$0,02661 \pm 0,00077$	$161,39 \pm 2,05$
$6,33 \pm 0,02$	Н/сп	$0,00421 \pm 0,00005$	$0,00762 \pm 0,00022$	$100,74 \pm 0,95$
$6,28 \pm 0,02$	Н/сп	$0,03734 \pm 0,00047$	$-0,00459 \pm 0,00012$	$59,21 \pm 0,38$

Приведенные выше результаты могут быть описаны в рамках представлений о резонансном туннелировании как механизме переноса заряда вдоль оси c в ВТСП [12]. Суть этих представлений сводится к следующему: в образцах ВТСП $\text{YBa}_2\text{Cu}_3\text{O}_{7-\delta}$ с $7-\delta < 7$ цепочки ...–Cu–O–Cu–... вдоль оси b разорваны, однако оставшиеся атомы кислорода могут создавать локализованные состояния для электронов и вытягивать их из плоскостей CuO_2 , что и приводит к переносу дырок между плоскостями вдоль оси c . Для того чтобы подобный механизм был эффективным («резонансное туннелирование»), необходимо, чтобы внутри потенциального барьера существовала потенциальная яма с локализованным состоянием, находящаяся точно в середине барьера, и энергия электрона должна равняться энергии связанного состояния в яме. Оба условия автоматически выполняются в случае $\text{YBa}_2\text{Cu}_3\text{O}_{7-\delta}$, а зависимость $\rho_c(T)$ носит экспоненциальный характер [12].

Теория резонансного туннелирования дает следующее выражение для анизотропии электросопротивления:

$$\frac{\rho_c}{\rho_{ab}} = AT \operatorname{ch}^2 \frac{T_0}{T}, \quad (2)$$

где A – константа, зависящая от параметров электронного взаимодействия ($A \sim v^2$, где v – скорость на границе Ферми) и величины $7-\delta$, а T_0 – характерная энергия активации, определяемая энергетическим положением уровней, через которые идет процесс резонансного туннелирования.

С учетом известного уравнения кристаллофизики для усредненного значения свойства (описываемого тензором второго ранга) кристаллов средних сингоний, например электросопротивления,

$$\rho = \frac{2}{3} \rho_{ab} + \frac{1}{3} \rho_c, \quad (3)$$

из соотношений (1) и (3) следует

$$\rho_{ab} = \frac{3}{2} \alpha_0 (1 + \beta T), \quad \rho_c = 3\alpha_0 e^{\gamma/T}. \quad (4)$$

Тогда

$$\frac{\rho_c}{\rho_{ab}} = 2 \frac{e^{\gamma/T}}{1 + \beta T}, \quad (5)$$

и соотношение (2) можно переписать в виде

$$2 \frac{e^{\gamma/T}}{1 + \beta T} = AT \operatorname{ch}^2 \frac{T_0}{T}. \quad (6)$$

На рис. 3 приведены результаты обработки полученных данных по формуле (6) для ВТСП $\text{YBa}_2\text{Cu}_3\text{O}_{7-\delta}$ различного состава. Как видно, результаты измерений неплохо аппроксимируются уравнением теории резонансного туннелирования. Более того, температурная зависимость анизотропии электросопротивления $\rho_c/\rho_{ab}(T)$, полученная из измерений на керамических образцах $\text{YBa}_2\text{Cu}_3\text{O}_{7-\delta}$, близка к результатам прямых измерений на монокристаллах [9,12].

На основании обработки экспериментальных данных построены концентрационные зависимости параметров теории A и T_0 (рис. 4). Полученные зависимости $A(7-\delta)$ (рис. 4, а) и $T_0(7-\delta)$ (рис. 4, б) носят в целом разумный характер: константа A , связанная в основном с переносом зарядов (дырок) в цепочках ...—Cu—O—Cu—..., заметно возрастает при понижении кислородного индекса (и это согласуется с данными об уменьшении концентрации носителей при понижении кислородного индекса [20,21]), в то время как изменения энергии активации T_0 туннельного переноса дырок между плоскостями цепочки CuO_2 сравнительно невелики.

Таким образом, в настоящей работе на основании измерений температурных зависимостей электросопротивления керамических образцов ВТСП $\text{YBa}_2\text{Cu}_3\text{O}_{7-\delta}$ с различным содержанием кислорода в интервале температур ~ 20 –273 К установлено:

- зависимости $\rho(T)$ при любом содержании слабосвязанного кислорода могут быть описаны

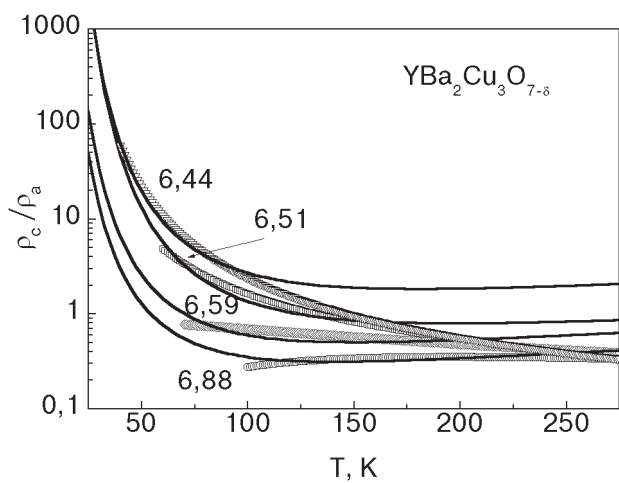


Рис. 3. Температурная зависимость анизотропии удельного электросопротивления (ρ_c/ρ_{ab}) ВТСП $\text{YBa}_2\text{Cu}_3\text{O}_{7-\delta}$. «Экспериментальные» точки на графике соответствуют левой части уравнения (6), сплошные линии — результат аппроксимации этих данных в соответствии с правой частью уравнения.

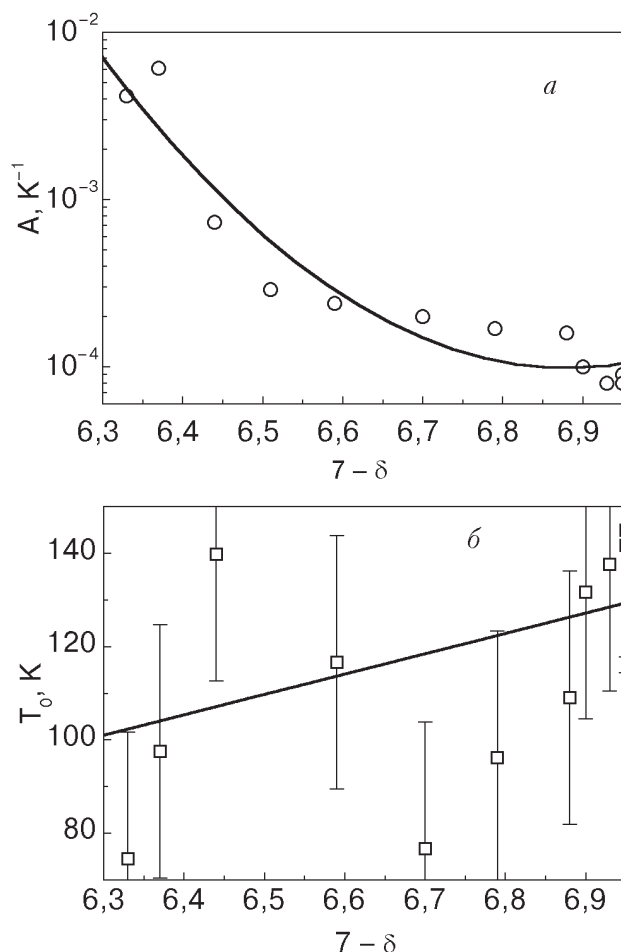


Рис. 4. Концентрационные зависимости параметров A (а) и T_0 (б) уравнения $\rho_c/\rho_{ab} = AT \ln^2(T_0/T)$.

выражением, содержащим термы, ответственные за оба механизма переноса заряда;

- на основании результатов измерений на поликристаллах можно оценить величину анизотропии электросопротивления ВТСП $\rho_c/\rho_{ab}(T)$.

Отметим в заключение, что продемонстрированная в настоящей работе на примере $\text{YBa}_2\text{Cu}_3\text{O}_{7-\delta}$ с различным содержанием кислорода возможность изучения анизотропии кинетических свойств ВТСП на поликристаллических образцах отнюдь не претендует на универсальный характер такого подхода и тем более на подмену измерений на ориентированных монокристаллах. Однако в ряде случаев подобный способ оценки величины анизотропии электросопротивления ВТСП может оказаться единственным возможным.

Автор признателен А. А. Блинкину, В. В. Деревянко и Ю. Ю. Раздовскому за помощь в проведении экспериментов.

Работа выполнена при поддержке Украинского научно-технологического центра (грант STCU № 2266).

1. C. W. Chu, P. H. Hor, R. L. Meng, L. Gao, Z. J. Huang, and Y. Q. Wang, *Phys. Rev. Lett.* **58**, 405 (1987).
2. J. R. Cooper, S. D. Obertelli, A. Carrington, and J. W. Loram, *Phys. Rev. B* **44**, 12086 (1991).
3. L. Sun, Y. Wang, H. Shen, and X. Cheng, *Phys. Rev. B* **38**, 5114 (1988).
4. S. Zhu, X. Zhang, Z. Xu, H. Wang, and H. Xia, *Chinese Phys. Lett.* **6**, 185 (1989).
5. В. М. Аржавитин, А. А. Блинкин, В. В. Деревянко, Ю. Ю. Раздовский, А. Г. Руденко, В. А. Финкель, Ю. Н. Шахов, *СФХТ* **6**, 2095 (1993).
6. S. W. Tozer, A. W. Kleinsasser, T. Penny, D. Kaiser, and F. Holtzberg, *Phys. Rev. Lett.* **59**, 1768 (1987).
7. Y. Iye, T. Tamegai, T. Sakakibara, T. Goto, N. Miura, H. Takeya, and H. Takei, *Physica C* **153-155**, 26 (1988).
8. М. А. Оболенский, А. В. Бондаренко, В. И. Белецкий, В. Н. Моргун, В. П. Попов, Н. Н. Чеботаев, А. С. Панфилов, А. И. Смирнов, О. А. Миронов, С. В. Чистяков, И. Ю. Скрылев, *ФНТ* **16**, 1103 (1990).
9. В. Н. Зверев, Д. Б. Шовкун, *Письма в ЖЭТФ* **72**, 103 (2000).
10. T. Ito, K. Takenaka, and S. Uchida, *Phys. Rev. Lett.* **70**, 3995 (1993).
11. H. C. Montgomery, *J. Appl. Phys.* **42**, 2971 (1971).
12. А. А. Абрикосов, *УФН* **166**, 683 (1998).
13. В. А. Финкель, В. В. Торяник, *ФНТ* **23**, 824 (1997).
14. В. А. Финкель, *ФНТ* **25**, 554 (1999).
15. В. А. Финкель, В. В. Деревянко, *ФНТ* **26**, 128 (2000).
16. V. A. Finkel, V. M. Arzhavitin, A. A. Blinkin, V. V. Derevyanko, and Yu. Yu. Razdovskii, *Physica C* **235-240**, 303 (1994).
17. В. В. Торяник, В. А. Финкель, В. В. Деревянко, *Физика и химия обработки материалов* № 5, 55 (1995).
18. E. Bonetti, E. G. Campari, and S. Mantovari, *Physica C* **196**, 7 (1992).
19. B. P. Stojcovic and D. Pines, *Phys. Rev. B* **55**, 8576 (1997).
20. В. В. Еременко, В. Н. Самоваров, В. Н. Свищев, В. Л. Вакула, М. Ю. Либин, С. А. Уютнов, *ФНТ* **26**, 739 (2000).
21. В. В. Еременко, В. Н. Самоваров, В. Л. Вакула, М. Ю. Либин, С. А. Уютнов, *ФНТ* **26**, 1091 (2000).

Electrical conductivity of ceramic HTSC
 $\text{YBa}_2\text{Cu}_3\text{O}_{7-\delta}$ with different contents of oxygen
at low temperatures

V. A. Finkel

The resistance of the ceramic $\text{YBa}_2\text{Cu}_3\text{O}_{7-\delta}$ specimens with different contents of oxygen ($6.28 \leq 7-\delta \leq 6.95$) are measured in temperature range $\sim 20-273$ K. It is shown that for all oxygen concentrations the temperature dependence of resistance can be described by the equation $\rho = \alpha_0(1 + \beta T + e^{\gamma/T})$. It is established that within the framework of the theory of resonant tunneling the information concerning the anisotropy of the HTSC resistance can be obtained from the data for polycrystals.